

TT 36 N, TD 36 N, DT 36 N

Elektrische Eigenschaften**Electrical properties****Höchstzulässige Werte****Maximum rated values**

Periodische Vorwärts- und Rückwärts-Spitzenperrspannung	repetitive peak forward off-state and reverse voltages	$t_{vj} = -40^\circ\text{C} \dots t_{vj\ max}$	V_{DRM}, V_{RRM}	600, 800 1000, 1200 1400, 1600	V
Vorwärts-Stoßspitzenspannung	non repetitive peak forward off-state voltage	$t_{vj} = -40^\circ\text{C} \dots t_{vj\ max}$	$V_{DSM} = V_{DRM}$		
Rückwärts-Stoßspitzenspannung	non repetitive peak reverse voltage	$t_{vj} = +25^\circ\text{C} \dots t_{vj\ max}$	$V_{RSM} = V_{RRM}$	+ 100	V
Durchlaßstrom-Grenzeffektivwert Dauergrenzstrom	RMS on-state current average on-state current	$t_C = 85^\circ\text{C}$ $t_C = 60^\circ\text{C}$	I_{TRMSM} I_{TAVM}	80 36 51	A
Stoßstrom-Grenzwert	surge current	$t_{vj} = 25^\circ\text{C}, t_p = 10\text{ ms}$ $t_{vj} = t_{vj\ max}, t_p = 10\text{ ms}$ $t_{vj} = 25^\circ\text{C}, t_p = 10\text{ ms}$ $t_{vj} = t_{vj\ max}, t_p = 10\text{ ms}$	I_{TSM}	980 850 980 3600	A
Grenzlastintegral	$\int i^2 dt$ -value		$\int i^2 dt$	4800 3600	A^2s
Kritische Stromsteilheit	critical rate of rise of on-state current	$V_D \leq 67\% V_{DRM}, f_0 = 50\text{ Hz}$ $V_L = 8\text{ V}, i_{GM} = 0,6\text{ A}, di_G/dt = 0,6\text{ A}/\mu\text{s}$	$(di/dt)_{cr}$	120	$\text{A}/\mu\text{s}$
Kritische Spannungssteilheit	critical rate of rise of off-state voltage	$t_{vj} = t_{vj\ max}, V_D = 67\% V_{DRM}$	$(dv/dt)_{cr}$	1000	$\text{V}/\mu\text{s}$

Charakteristische Werte**Characteristic values**

Durchlaßspannung	on-state voltage	$t_{vj} = t_{vj\ max}, i_T = 150\text{ A}$	V_T	max.	2,2	V
Schleusenspannung	threshold voltage	$t_{vj} = t_{vj\ max}$	$V_{T(TO)}$		1	V
Ersatzwiderstand	slope resistance	$t_{vj} = t_{vj\ max}$	r_T		6,2	$\text{m}\Omega$
Zündstrom	gate trigger current	$t_{vj} = 25^\circ\text{C}, V_D = 6\text{ V}$	I_{GT}	max.	150	mA
Zündspannung	gate trigger voltage	$t_{vj} = 25^\circ\text{C}, V_D = 6\text{ V}$	V_{GT}	max.	2,5	V
Nicht zündender Steuerstrom	gate non trigger current	$t_{vj} = t_{vj\ max}, V_D = 6\text{ V}$	I_{GD}	max.	5	mA
Nicht zündende Steuerspannung	gate non trigger voltage	$t_{vj} = t_{vj\ max}, V_D = 0,5 V_{DRM}$	V_{GD}	max.	0,2	V
Haltestrom	holding current	$t_{vj} = 25^\circ\text{C}, V_D = 6\text{ V}, R_A = 5\Omega$	I_H	max.	200	mA
Einraststrom	latching current	$t_{vj} = 25^\circ\text{C}, V_D = 6\text{ V}, R_{GK} \geq 20\Omega$ $i_{GM} = 0,6\text{ A}, di_G/dt = 0,6\text{ A}/\mu\text{s}, t_g = 10\mu\text{s}$	I_L	max.	600	mA
Vorwärts- und Rückwärts-Sperrstrom	forward off-state and reverse currents	$t_{vj} = t_{vj\ max}, V_D = V_{DRM}, V_R = V_{RRM}$	i_D, i_R	max.	10	mA
Zündverzug	gate controlled delay time	$t_{vj} = 25^\circ\text{C}, i_{GM} = 0,6\text{ A}, di_G/dt = 0,6\text{ A}/\mu\text{s}$ siehe Techn. Erl./see Techn. Inf.	t_{gd}	max.	1,2	μs
Freiwerdezeit	circuit commutated turn-off time		t_q	typ.	60	μs
Isolations-Prüfspannung	insulation test voltage	RMS, $f = 50\text{ Hz}, t = 1\text{ min}$	V_{ISOL}		2,5	kV

Thermische Eigenschaften**Thermal properties**

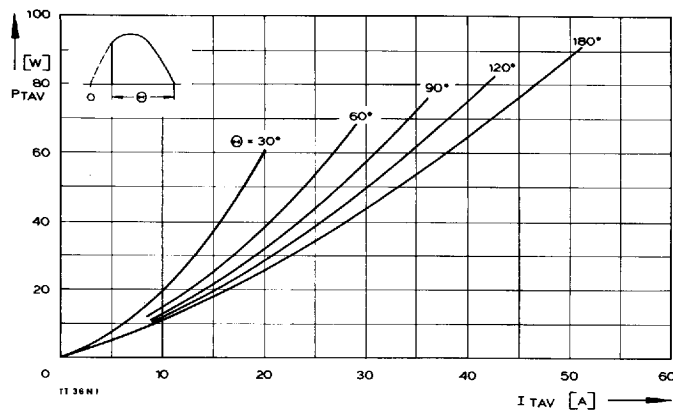
Innerer Wärmewiderstand	thermal resistance, junction to case	$\Theta = 180^\circ\text{el, sinus: pro Modul/per module}$ DC: pro Zweig/per arm	R_{lhJC}	max.	0,36°C/W
Übergangs-Wärmewiderstand	thermal resistance, case to heatsink	pro Modul/per module pro Zweig/per arm	R_{lhCK}	max.	0,08°C/W
Höchstzul. Sperrsichttemperatur	max. junction temperature		$t_{vj\ max}$		125°C
Betriebstemperatur	operating temperature		$t_c op$		- 40°C ... + 125°C
Lagertemperatur	storage temperature		t_{stg}		- 40°C ... + 130°C

Mechanische Eigenschaften**Mechanical properties**

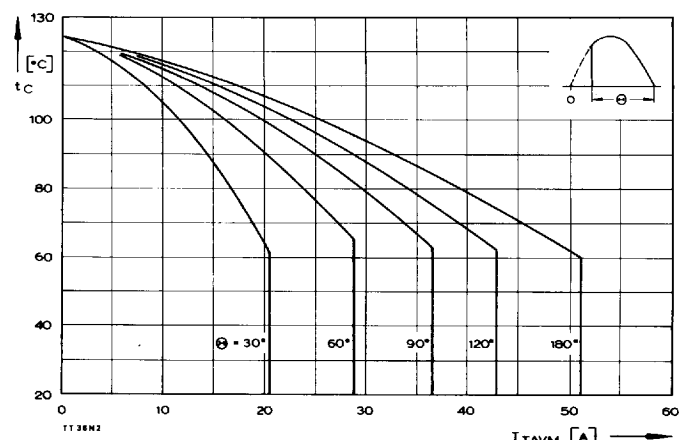
Si-Elemente glaspassiviert, Lötkontakt Innere Isolation Anzugsdrehmomente mechanische Befestigung elektrische Anschlüsse Gewicht Kriechstrecke Schwingfestigkeit Maßbild	Si-pellets glass-passivated, soldered contact internal insulation tightening torques mounting torque terminal connection torque weight creepage distance vibration resistance outline	Toleranz/tolerance $\pm 15\%$ Toleranz/tolerance + 5%/- 10% $f = 50\text{ Hz}$	M1 M2 G	Al ₂ O ₃ 4 Nm 4 Nm typ. 160 g 12,5 mm 5 · 9,81 m/s ² 1
---	--	--	---------------	---

Recognized by UNDERWRITERS LABORATORIES INC.

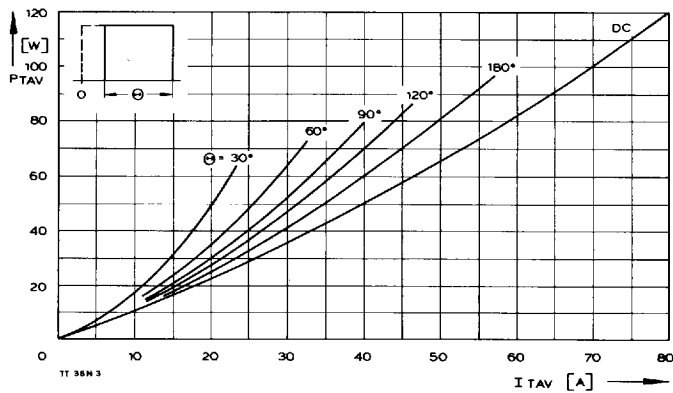
TT 36 N, TD 36 N, DT 36 N



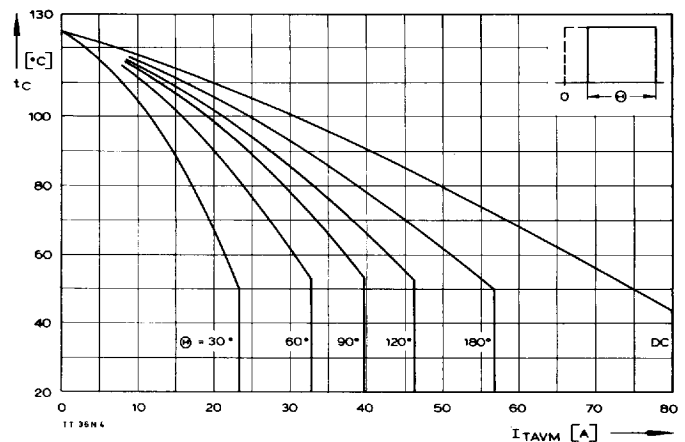
Bild/Fig. 1
Durchlaßverlustleistung eines Zweiges/On-state power loss per arm P_{TAV}
Parameter: Stromflußwinkel/current conduction angle θ



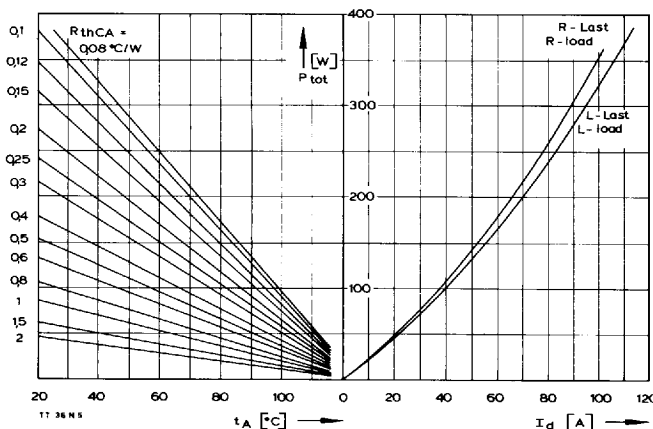
Bild/Fig. 2
Höchstzulässige Gehäusetemperatur t_C in Abhängigkeit vom Zweigstrom
Maximum allowable case temperature t_C versus current per arm



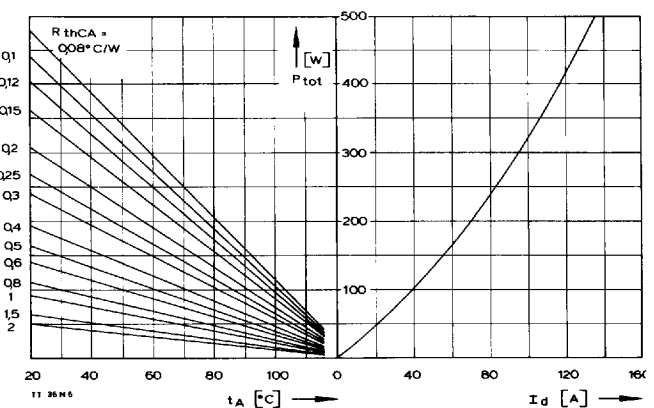
Bild/Fig. 3
Durchlaßverlustleistung eines Zweiges/On-state power loss per arm P_{TAV}
Parameter: Stromflußwinkel/current conduction angle θ



Bild/Fig. 4
Höchstzulässige Gehäusetemperatur t_C in Abhängigkeit vom Zweigstrom
Maximum allowable case temperature t_C versus current per arm

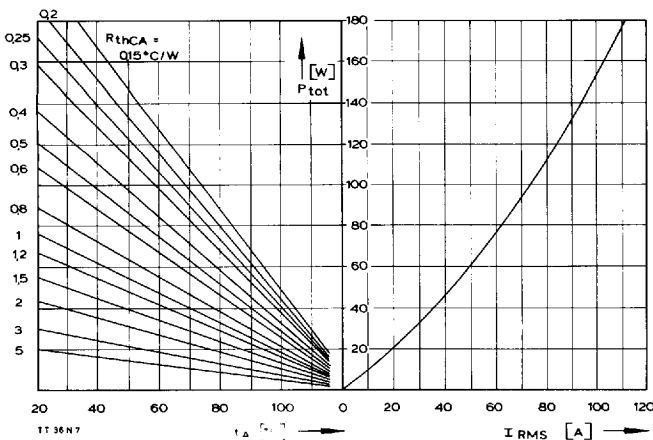


Bild/Fig. 5
B2 – Zweipuls-Brückenschaltung/Two-pulse bridge circuit
Höchstzulässiger Ausgangsstrom I_d in Abhängigkeit von der Umgebungs-temperatur t_A .
Maximum allowable output current I_d versus ambient temperature t_A .
Parameter: Wärmewiderstand zwischen Powerblock und Umgebung/ thermal resistance case to ambient R_{thCA}



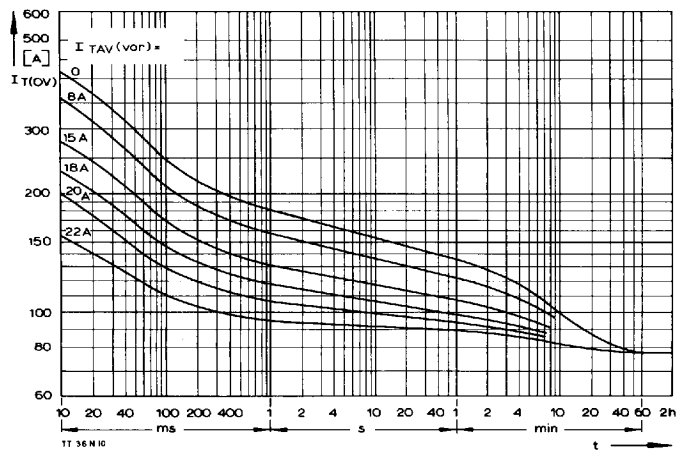
Bild/Fig. 6
B6 – Sechspuls-Brückenschaltung/Six-pulse bridge circuit
Höchstzulässiger Ausgangsstrom I_d in Abhängigkeit von der Umgebungs-temperatur t_A .
Maximum allowable output current I_d versus ambient temperature t_A .
Parameter: Wärmewiderstand zwischen Powerblock und Umgebung/ thermal resistance case to ambient R_{thCA}

TT 36 N, TD 36 N, DT 36 N



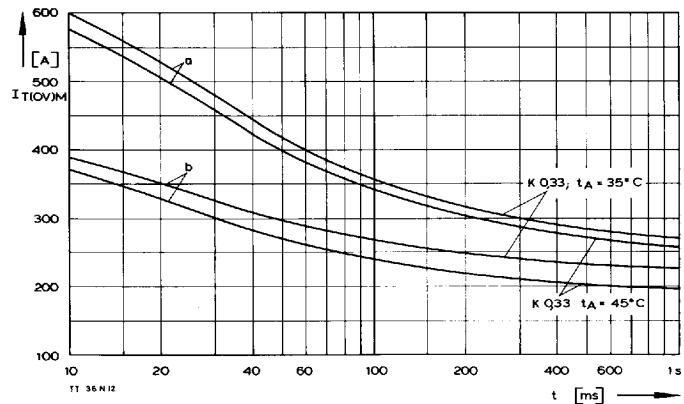
Bild/Fig. 7

W1C – Einphasen-Wechselwegschaltung/Single-phase inverse parallel circuit
Höchstzulässiger Strom I_{RMS} in Abhängigkeit von der Umgebungstemperatur t_A .
Maximum allowable current I_{RMS} versus ambient temperature t_A .
Parameter: Wärmewiderstand zwischen Powerblock und Umgebung/
thermal resistance case to ambient R_{ThCA}



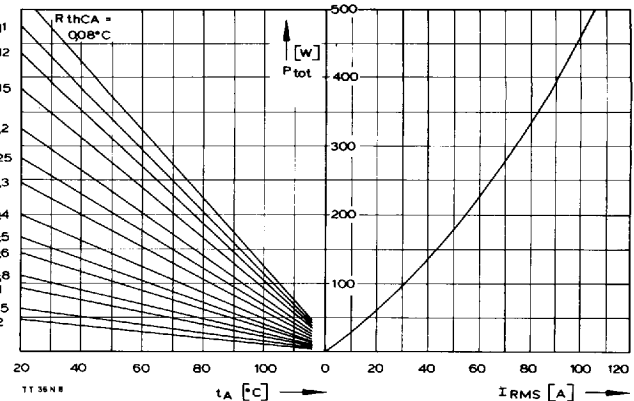
Bild/Fig. 9

B2 – Zweipuls-Brückenschaltung/Two-pulse bridge circuit
Überstrom je Zweig $I_{T(OV)}$ bei Luftsselfst kühlung, $t_A = 45^\circ\text{C}$, Kühlkörper KP0,33 S.
Overload on-state current per arm $I_{T(OV)}$ at natural cooling, $t_A = 45^\circ\text{C}$,
heat sink type KP0.33 S.
Parameter: Vorlaststrom je Zweig/pre-load current per arm $I_{TAV(vor)}$



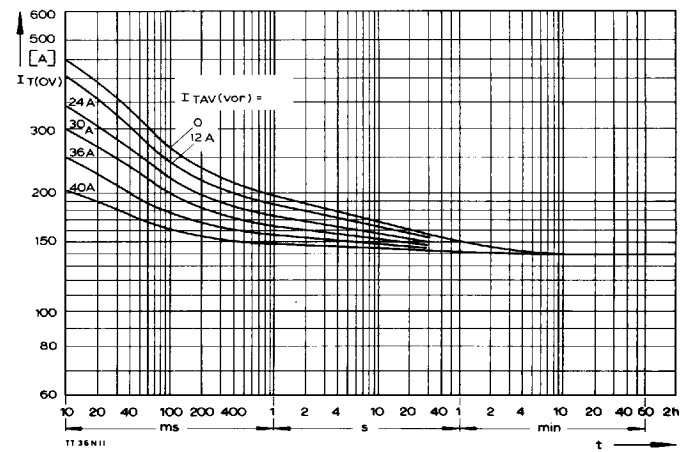
Bild/Fig. 11

Größestrom je Zweig $I_{T(OV)M}$ bei Luftsselfst kühlung, $t_A = 45^\circ\text{C}$ und verstärkter
Luftkühlung, $t_A = 35^\circ\text{C}$, Kühlkörper KP0,33 S, $V_{RM} = 0.8 V_{RRM}$.
Limiting overload on-state current per arm $I_{T(OV)M}$ at natural ($t_A = 45^\circ\text{C}$) and
forced ($t_A = 35^\circ\text{C}$) cooling, heat sink type KP0.33 S, $V_{RM} = 0.8 V_{RRM}$.
a – Belastung nach Leerlauf/current surge under no-load conditions
b – Belastung nach Betrieb mit Dauergrenzstrom I_{TAVM}
Current surge occurs during operation at limiting mean on-state current
rating I_{TAVM}



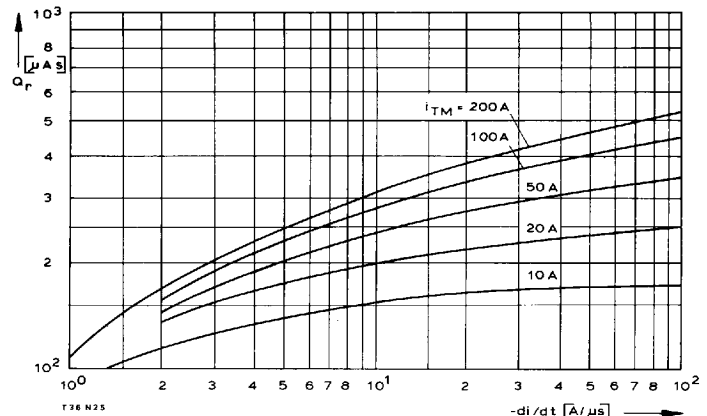
Bild/Fig. 8

W3C – Dreiphasen-Wechselwegschaltung/Three-phase inverse parallel circuit
Höchstzulässiger Strom je Phase I_{RMS} in Abhängigkeit von der Umgebungs-
temperatur t_A .
Maximum allowable current per phase I_{RMS} versus ambient temperature t_A .
Parameter: Wärmewiderstand zwischen Powerblock und Umgebung/
thermal resistance case to ambient R_{ThCA}



Bild/Fig. 10

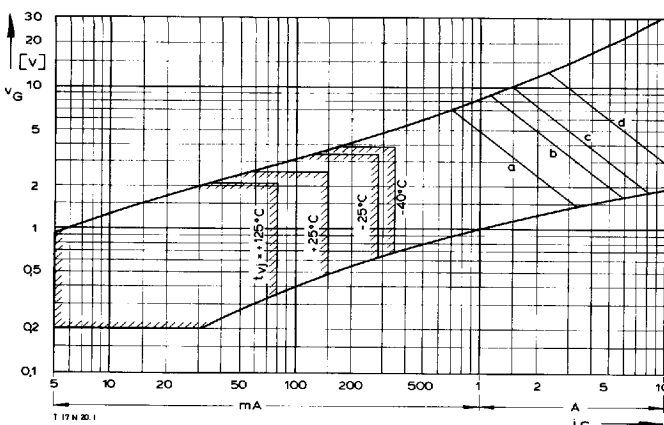
B2 – Zweipuls-Brückenschaltung/Two-pulse bridge circuit
Überstrom je Zweig $I_{T(OV)}$ bei verstärkter Luftkühlung, $t_A = 35^\circ\text{C}$, $V_L = 90 \text{ l/s}$,
Kühlkörper KP0,33 S.
Overload on-state current per arm $I_{T(OV)}$ at forced cooling, $t_A = 35^\circ\text{C}$, $V_L = 90 \text{ l/s}$,
heat sink type KP0.33 S.
Parameter: Vorlaststrom je Zweig/pre-load current per arm $I_{TAV(vor)}$



Bild/Fig. 12

Sperrverzögerungsladung Q_r in Abhängigkeit von der abkommunierenden
Stromsteilheit $-di/dt$ bei $t_{vj} = t_{vj \max}$, $V_R = 0.5 V_{RRM}$, $V_{RM} = 0.8 V_{RRM}$.
Der angegebene Verlauf ist gültig für 90% aller Elemente.
Recovered charge versus the rate of decay of the forward on-state current
 $-di/dt$ at $t_{vj} = t_{vj \max}$, $V_R = 0.5 V_{RRM}$, $V_{RM} = 0.8 V_{RRM}$.
These curves are valid for 90% of all devices.
Parameter: Durchlaßstrom i_{TM} /On-state current i_{TM}

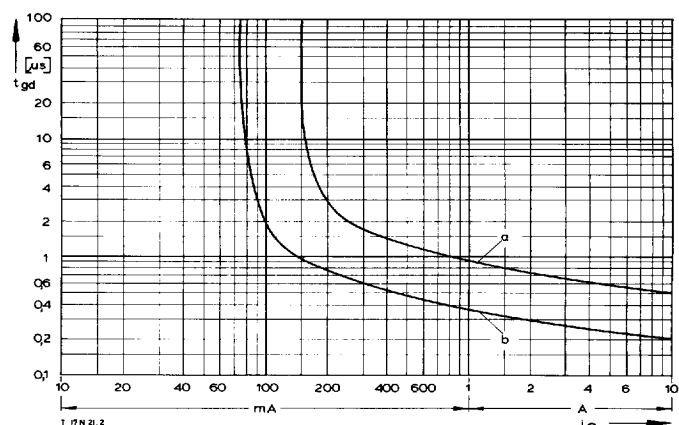
TT 36 N, TD 36 N, DT 36 N



Bild/Fig. 13

Zündbereich und Spitzensteuerleistung bei $v_D = 6$ V.
Gate characteristic and peak gate power dissipation at $v_D = 6$ V.

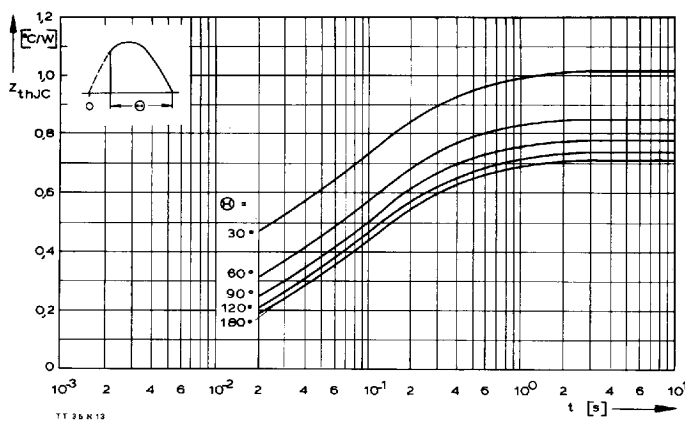
Parameter:	a	b	c	d
Steuerimpulsdauer/Pulse duration t_g [ms]	10	1	0,5	0,1
Höchstzulässige Spitzensteuerleistung/ Maximum allowable peak gate power [W]	5	10	15	30



Bild/Fig. 14

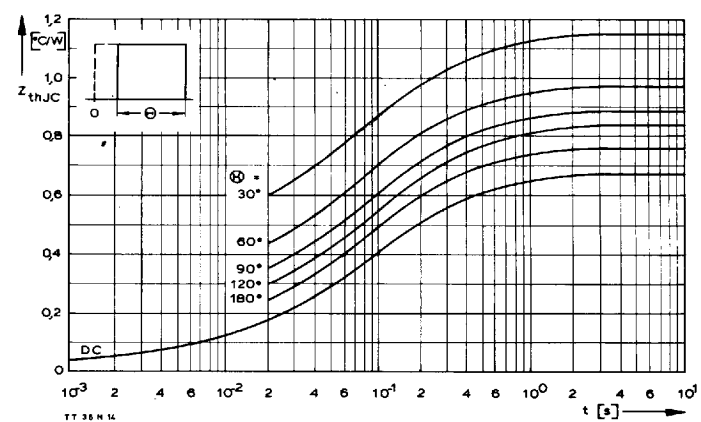
Zündverzug/Gate controlled delay time t_{gd} .
DIN 41787, $t_a = 1 \mu\text{s}$, $t_{vj} = 25^\circ\text{C}$.

- a – äußerster Verlauf/limiting characteristic
- b – typischer Verlauf/typical characteristic



Bild/Fig. 15

Transienter innerer Wärmewiderstand je Zweig $Z_{(th)JC}$.
Transient thermal impedance per arm $Z_{(th)JC}$, junction to case.



Bild/Fig. 16

Transienter innerer Wärmewiderstand je Zweig $Z_{(th)JC}$.
Transient thermal impedance, junction to case, per arm $Z_{(th)JC}$.

Pos. n	1	2	3	4	5
R_{thn} [°C/W]	0,0525	0,0494	0,2405	0,298	0,087
τ_n [s]	0,000045	0,00149	0,0444	0,174	0,95

$$Z_{thJC} = \sum_{n=1}^{n_{\max}} R_{thn} (1 - e^{-t/\tau_n})$$

Transienter Wärmewiderstand Z_{thJC} pro Zweig für DC.
Transient thermal impedance Z_{thJC} per arm for DC.